

氧化白藜芦醇协同抗坏血酸抑制余甘子酶促褐变的机制研究

陈军¹, 陈洪彬¹, 郭凤仙¹, 郑瑞生¹, 林河通², 郑宗平^{1*}

(¹福建省海洋藻类活性物质制备与功能开发重点实验室 泉州师范学院海洋与食品学院 福建泉州 362000)

(²福建农林大学食品科学学院 福州 350002)

摘要 通过研究氧化白藜芦醇协同抗坏血酸对余甘子酶促褐变的抑制作用,以及对其多酚氧化酶的酶抑制动力学研究,探明氧化白藜芦醇联合抗坏血酸协同抑制褐变酶的作用机理。结果表明,0.02%氧化白藜芦醇、0.15%抗坏血酸、0.02%氧化白藜芦醇+0.15%抗坏血酸均能减缓余甘子的酶促褐变,对3种褐变酶即多酚氧化酶(PPO)、过氧化物酶(POD)、苯丙氨酸解氨酶(PAL)活性均有较好的抑制作用;0.02%氧化白藜芦醇+0.15%抗坏血酸联合处理对余甘子的酶促褐变及对PPO、POD、PAL的抑制活性强于单独使用。酶抑制动力学结果表明,氧化白藜芦醇对PPO的IC₅₀为(3.300±0.010) μmol/L,抑制机理为可逆的混合型抑制,而氧化白藜芦醇+抗坏血酸(1:7)的IC₅₀为(1.600±0.020) μmol/L,抑制机理为可逆的竞争性抑制,协同使用导致抑制方式也发生改变。氧化白藜芦醇对PPO的抑制常数K_i为0.904 μmol/L,对PPO-底物形成的复合物的抑制常数K_{IS}为14.285 μmol/L,而氧化白藜芦醇+抗坏血酸(1:7)对PPO的抑制常数K_i为0.840 μmol/L,联合处理对PPO的抑制性加强。

关键词 余甘子; 酶促褐变; 氧化白藜芦醇; 抗坏血酸; 酶抑制动力学

文章编号 1009-7848(2023)01-0240-10 **DOI:** 10.16429/j.1009-7848.2023.01.023

余甘子(*Phyllanthus emblica*)为大戟科植物余甘子的果实,为热带、亚热带地区特色水果,在我国主要分布在福建、广西、广东、云南、海南等省份^[1]。余甘子具有健胃止咳、清热凉血、治疗血瘀、减轻腹疼、缓解喉咙干疼、清新口腔的药用价值^[2-4]。现代药理研究表明,余甘子对高血压^[5]、糖尿病^[6]具有一定的预防和治疗作用,并且具有抗病毒^[7]、抗炎^[8]、抗肿瘤^[9]、抗氧化^[10]、抗癌^[11]、护肝^[12]等功效。现有研究主要集中在余甘子的药理作用和药用价值,而对余甘子采后加工贮藏及抗褐变鲜有研究。余甘子采后在加工和贮藏过程中逐渐变黄,形成果实褐变,在余甘子果汁饮料加工过程中,随着时间的延长,会出现褐色沉淀,影响其感官、营养价值。因此,减缓余甘子在采后贮藏和加工过程中的褐变问题,对余甘子资源的开发具有重要意义。

酶促褐变是引起果蔬褐变的重要原因,主要通过多酚氧化酶(PPO)、过氧化物酶等酶以及氧气的参与,将酚类物质氧化成醌类物质,醌类物质进一步氧化聚合或通过非酶促褐变反应与蛋白质

等大分子物质聚合缩合,形成褐变物质,导致果蔬的营养、感官、经济价值降低^[13]。抑制酶促褐变可从氧气、酚类物质和褐变酶等3个方面入手,通过隔绝氧气、钝化酶活性、抑制酶的活性等手段抑制或减缓酶促褐变的发生,通过阻止酶、底物、氧气同时存在且相互接触的方法阻止酶促褐变的发生^[14]。

氧化白藜芦醇(Oxyresveratrol,OXY)为二苯乙烯类物质,前期研究表明,OXY对多酚氧化酶有很强抑制作用,抑制活性远胜于曲酸^[15-16]。Wang等^[17]以酪氨酸为底物,研究OXY对PPO的抑制机制为可逆的混合型抑制。近几年,OXY被广泛应用于水果、蔬菜的抗褐变研究,结果表明其有很好的效果。陈春等^[18]研究OXY对苹果鲜切片及鲜榨果汁的抗褐变作用,表明OXY对贮藏期苹果的多酚氧化酶活性、过氧化物酶活性有较好的抑制作用,能显著降低褐变度。在实际应用中,复合护色剂对果蔬的鲜切片或鲜榨果蔬汁进行护色有更好的效果,He等^[19-20]利用OXY和抗坏血酸(VC)对藕片、葡萄汁的抗褐变效果,研究表明,复合使用的抗褐变效果比单独使用OXY更好。Li等^[21]也发现单独使用OXY对苹果鲜切片抗褐变效果没有联合使用OXY+VC的效果好。到目前为止,研究

收稿日期: 2022-01-13

基金项目: 福建省自然科学基金项目(2018J01440)

第一作者: 陈军,男,硕士生

通信作者: 郑宗平 E-mail: zzpsea@qutc.edu.cn

者多以单一抑制剂对多酚氧化酶进行抑制研究,而利用复合抑制剂对多酚氧化酶抑制机制的研究鲜有报道。本研究采用 OXY 联合 VC 对余甘子切片进行抗褐变研究,同时研究其酶抑制动力学,探明 OXY 联合 VC 对余甘子的多酚氧化酶的协同抑制机理,为余甘子采后贮藏和加工过程中抗褐变提供理论基础。

1 材料与方法

1.1 材料与仪器

余甘子(品种为“玻璃甘”),泉州水果批发市场;二甲基亚砜(DMSO)、十二水合磷酸氢二钠、二水合磷酸二氢钠、聚乙烯吡咯烷酮(PVPP)、抗坏血酸(VC)、创愈木酚、苯丙氨酸、焦性没食子酸、4-己基间苯二酚(4-HR)、PPO,Sigma 公司;30%过氧化氢、盐酸(分析纯级),国药集团化学试剂有限公司;氧化白藜芦醇,上海源叶生物有限公司;试验用水为去离子水。

ZRX-260 低温人工气候箱,宁波赛福实验仪器有限公司;T6 新世纪紫外可见分光光度计,北京普析通用仪器有限责任公司;H2050R 型台式高速大容量冷冻离心机,湖南湘仪实验室仪器开发有限公司;Infinite M200 Pro 酶标仪,瑞士帝肯公司;ADCI 系列全自动色差计,北京辰泰克仪器技术有限公司。

1.2 试验方法

1.2.1 余甘子切片的 L 值、 ΔE 的测定 挑选大小、成熟度一致,无机械损伤的新鲜余甘子,洗净,切成直径约为 2~3 cm 的余甘子果片,将切好的余甘子切片浸泡于 500 mL 待护色溶液中,3 min 后取出沥干,放于塑料平板上,于室温下晾干后,置于相对湿度为 85%,温度为 25 ℃恒温恒湿培养箱中贮藏,经预试验,测试样品包括去离子水(CK)、0.02% OXY、0.01% 4-HR、0.15% VC、0.02% OXY + 0.15% VC、0.01% 4-HR+0.15% VC 溶液。

将浸泡护色液后晾干的余甘子切片用 ADCI 色差计测量余甘子切片的 L (亮度)、 a (红-绿)和 b (黄-蓝)值,在间隔时间为 0,6,12,18,24,30,36 h 时,分别测出其色差值,不同组样品各测量 10 个不同余甘子切片,取平均值, ΔE 代表不同样品总色差度,计算公式如下^[22]:

$$\Delta E = \sqrt{(L_t - L_0)^2 + (a_t - a_0)^2 + (b_t - b_0)^2} \quad (1)$$

式中, ΔE —总色差度; L_t 、 a_t 、 b_t — t 时刻的 L 、 a 、 b 值; L_0 、 a_0 、 b_0 —0 时刻的 L 、 a 、 b 值。

1.2.2 余甘子切片褐变度的测定 参照关正萍等^[23]的方法略有改动,将经液氮处理的余甘子果片用万能粉碎机粉碎,各组称取 2 g 余甘子粉末,冰浴研磨,12 000 r/min 条件下离心 15 min,取上清液,定容 10 mL 后,经酶标仪测定在 420 nm 波长处的吸光值,平行操作 3 次,以每克鲜重在波长 420 nm 处吸光值表示褐变度(OD_{420nm}/g)。

1.2.3 余甘子切片 PPO、POD、PAL 的提取 将经液氮处理的余甘子果片用万能粉碎机粉碎,各组称取 2 g 余甘子粉末用含 2%PVPP,0.1%VC,磷酸盐缓冲液(磷酸二氢钠和磷酸氢二钠混合配制而成,pH 6.8)冰浴研磨,经 2 000 r/min 离心 15 min,取上清液,定容至 10 mL,制得粗酶液。

1.2.4 余甘子切片 PPO 活性的测定 酶的活性测定方法参照谢征芸等^[24]的方法略有改动,即向试管中加入 1 mL 磷酸盐缓冲液(pH 6.8)配成的 0.1 mol/L 的焦性没食子酸溶液,1.5 mL 磷酸盐缓冲液(pH 6.8),放入 30 ℃水浴 2 min 后,以去离子水做参比液,加入 0.5 mL 酶液,立刻测试在 420 nm 波长下的吸光值,测试之后立刻倒回试管,放入 30 ℃水浴锅中,反应 5 min 后,立刻测定 420 nm 波长下的吸光值,平行操作 3 次,定义每分钟每克余甘子酶促反应吸光值增加 0.001 为 1 个酶活力单位(U),PPO 活性单位为 U/g·min。

$$PPO \text{ 活性} = \frac{\Delta A_{420nm} \times V_T}{M \times V_s \times 0.001 \times T} \quad (2)$$

式中, ΔA_{420nm} —酶反应前、后吸光值之差; V_T —酶液提取的总体 (mL); M —待测材料的质量(g); V_s —测定时所取样品提取液体积 (mL); T —反应时间(min)。

1.2.5 余甘子切片 POD 的测定 过氧化物酶活性测定参照曹健康等^[25]方法略有改动,吸取 3.0 mL 由磷酸盐缓冲液(pH 6.8)配成的 25 mmol/L 愈创木酚溶液和 0.1 mL 酶液,置于 30 ℃水浴 2 min,加入 0.1 mL 2 mol/L 的 H₂O₂ 溶液,将反应混合液迅速倒入比色皿,在 475 nm 波长下测定吸光值,结果记为 OD_0 ,以去离子水为参比液,测量后倒回试管,在 30 ℃下水浴预热 5 min 后,测量反应

溶液吸光值,记为 OD_1 ,做差得 ΔA_{475nm} ,以每分钟每克余甘子酶促反应吸光值增加 0.01 为 1 个过氧化物酶活性单位(U),平行操作 3 次,POD 活性单位为 $U/g \cdot min$ 。

$$POD \text{ 活性} = \frac{\Delta A_{475nm} \times V}{0.01 \times V_s \times t \times m} \quad (3)$$

式中, ΔA_{475nm} ——酶反应前、后吸光值之差; V ——酶液提取的总体积(mL); V_s ——测定时所取样品提取液的体积(mL); t ——反应时间(min); m ——待测材料的质量(g)。

1.2.6 余甘子切片 PAL 活性的测定 酶液提取同 1.2.3 节的方法,PAL 活性测定参照曹健康等^[25]的方法,平行操作 3 次,PAL 活性单位为 $U/g \cdot h$ 。

$$PAL \text{ 活性} = \frac{(OD_1 - OD_0) \times V}{0.01 \times V_s \times T \times m} \quad (4)$$

式中, OD_1 ——反应 60 min 后的吸光值; OD_0 ——反应 0 min 时的吸光值; V ——样品液提取的总体积(mL); V_s ——测定时所取样品提取液体积(mL); T ——酶促反应时间(h); m ——样品质量(g)。

1.2.7 OXY、OXY+VC 对 PPO 抑制活性的测定 参照张龙^[26]的方法,并做适当修改。将抑制剂样品溶解于 DMSO 中配制成 1 mmol/L 的溶液,用去离子水稀释成所需浓度。然后将底物 L-DOPA 和 PPO 溶解在磷酸盐缓冲液(pH 6.8)中,分别配成浓度为 1 mmol/L 和 200 U/mL 的溶液,4 ℃避光保存待用。先在试管中加入 3.0 mL 底物 L-DOPA 溶液,然后向其中添加 100 μL 不同浓度的 OXY、OXY+VC 溶液,用漩涡混匀器混匀,放置于 30 ℃水浴锅中温浴 2 min,最后加入 100 μL PPO 溶液,立刻混匀,用紫外可见分光光度计于 475 nm 波长处测定吸光值,在 30 ℃恒温条件下继续反应 10 min 后,再次测定体系在 475 nm 波长处吸光度,平行操作 3 次。 $100 \mu L$ DMSO 代替体系中的 OXY、OXY+VC 溶液作为空白对照;不同浓度曲酸(KA)、KA+VC 溶液作为阳性对照。 IC_{50} 为使 PPO 活力下降至 50% 时 OXY、OXY+VC 的浓度。采用公式(5)计算化合物对 PPO 活性的抑制率:

$$\text{抑制率} = \frac{[(A_2 - A_1) - (B_2 - B_1)]}{A_2 - A_1} \times 100\% \quad (5)$$

式中, A_1 ——空白组 0 min 的吸光度; A_2 ——空白组 10 min 后的吸光度; B_1 ——样品组 0 min

的吸光度; B_2 ——样品组 10 min 后的吸光度。

1.2.8 OXY+VC 相互作用的评价 参照王庆华等^[27]的方法略有改动,两种复合抑制剂对 PPO 的作用,用相互作用系数 γ 表示,当 $\gamma > 1$ 时,表示为拮抗作用,当 $\gamma < 1$ 时,表示为协同作用。 γ 值越大,表明拮抗作用越强, γ 值越小,表示协同作用越强。

$$\gamma = \frac{IC_{50a}}{IC_{50A}} + \frac{IC_{50b}}{IC_{50B}} \quad (6)$$

式中, IC_{50A} 、 IC_{50B} ——分别表示抑制剂 A、B 单独使用时,对 PPO 抑制率为 50% 时的质量浓度($\mu mol/L$); IC_{50a} 、 IC_{50b} ——分别表示抑制剂 A、B 复合使用时,对 PPO 抑制率为 50% 时的质量浓度($\mu mol/L$)。

1.2.9 OXY、OXY+VC(1:7)对 PPO 抑制作用方式的测定 参照张龙^[26]方法略有改动。加入 3.0 mL 由磷酸盐缓冲液(pH 6.8)配成的浓度为 1 mmol/L 的 L-DOPA,然后加入 100 μL 不同浓度的抑制剂,30 ℃水浴 2 min,加入 100 μL 不同浓度的 PPO,立刻混匀,用紫外可见分光光度计于 475 nm 波长处测定吸光值,在 30 ℃恒温条件下继续反应 10 min 后,再次测定体系吸光度,测定体系吸光值变化,用酶促反应速度 V (OD_{475nm}/min)与 PPO 的浓度作图,根据曲线特点判断该抑制剂对 PPO 的抑制作用方式。若得到一组相交于原点的直线,则抑制剂对 PPO 的抑制方式为可逆抑制;若得到一组不相交的平行直线,则为不可逆抑制。

1.2.10 OXY、OXY+VC 对 PPO 抑制类型和抑制常数的测定 参照张龙^[26]方法略有改动,向试管中加入 3 mL 不同浓度的 L-DOPA 溶液,在 30 ℃水浴条件下,测定不同浓度的抑制剂对 PPO 活力的影响,此时 PPO 溶液加入量是 0.1 mL,浓度为 200 U/mL,最后采用以 L-DOPA 浓度的倒数 S^{-1} 为横坐标,以酶促反应速率(OD_{475nm}/min)的倒数 V^{-1} 为纵坐标的双倒数作图法作图,根据图形特点来判断抑制类型。以直线的斜率(Slope)和纵坐标的截距(Intercept)分别对抑制剂浓度进行二次作图,可求得相应的抑制剂对游离酶的抑制常数 K_I 以及对酶-底物复合物的抑制常数 K_{IS} ,如公式(7),(8)所示:

$$\text{Slope} = \frac{K_m}{V_{\max}} \times (1 + \frac{[I]}{K_I}) \quad (7)$$

$$\text{Intercept} = \frac{1}{V_{\max}} \times (1 + \frac{I}{K_{IS}}) \quad (8)$$

式中, K_m ——米氏常数; V_{\max} ——最大反应速度(mol/L·min); $[I]$ ——抑制剂浓度(mol/L); K_I ——抑制剂对游离酶的抑制常数(μmol); K_{IS} ——酶-底物复合物的抑制常数(μmol)。

1.2.11 数据处理 数据经过Excel处理,经SigmaPlot 12.5软件绘制,显著性差异经SPSS Statistics 22.0软件处理。

2 结果与分析

2.1 OXY 协同 VC 对余甘子 L 值、 ΔE 值的影响

从图1a可以看出,随着时间的延长,各处理组的L值均呈下降趋势,对照组(CK)L值下降最快且最低,OXY+VC处理组的L下降最慢且最高,OXY、4-HR+VC、VC、4-HR处理组的余甘子L值依次降低。0~6 h,OXY、VC、OXY+VC、4-HR+VC

处理组的L值相差不大;6~12 h期间,OXY和OXY+VC联合处理组的L值仍相差不大,然而VC、4-HR+VC处理组L值下降速度变快;从12 h开始,OXY处理组L值与OXY+VC联合处理组差距逐渐加大,OXY+VC复合处理组的余甘子L值均高于OXY、VC单独处理组,表明OXY联合VC后,对抑制余甘子切片L值下降的效果比单独使用更佳。

从图1b可以看出,各组的 ΔE 值均随着时间的延长而增加。在0~12 h,OXY、VC、OXY+VC、4-HR、4-HR+VC组的 ΔE 值相差不大;12~36 h,4-HR组的 ΔE 值高于VC、4-HR+VC。总体来看,CK、4-HR、VC、4-HR+VC、OXY、OXY+VC组的 ΔE 值依次降低,表明4-HR、VC、4-HR+VC、OXY、OXY+VC均对余甘子的 ΔE 值的上升有抑制作用,单独组余甘子切片的 ΔE 值高于联合组,表明联合使用对余甘子切片 ΔE 值升高的抑制作用比单独使用强。

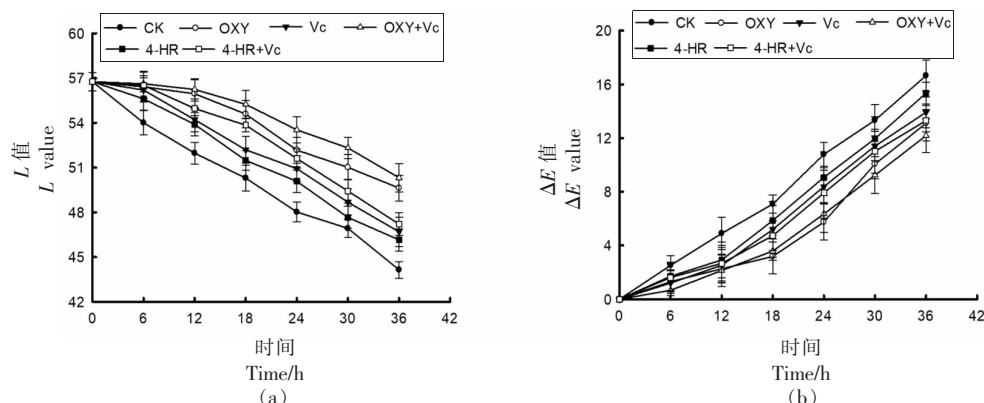


图1 OXY 协同 VC 对余甘子 L 值(a)、 ΔE 值(b)的影响

Fig.1 Effects of OXY + VC on L value (a), ΔE (b) values of *P. emblica*

2.2 OXY 协同 VC 对余甘子褐变度的影响

褐变度是褐变现象最直观的表现,褐变度高表示褐变程度大,对产品造成的视觉效果最为明显,是影响感官价值的直接指标。从图2可以看出,各组的褐变度值均随着时间的延长而增加,在0~6 h,各组的褐变度缓慢增加,6~24 h期间快速增加,24~36 h呈缓慢增加的趋势。在0~12 h,OXY、OXY+VC组的褐变度没有明显变化且两组

的褐变度值相差不大,其它组的褐变度值快速增加且高于OXY、OXY+VC组,说明在0~12 h,OXY、OXY+VC能明显抑制余甘子切片褐变现象的发生;12~36 h,OXY、OXY+VC组的褐变度快速增加,且OXY+VC组的褐变度值略低于OXY单独组,说明OXY联合VC处理和OXY单独处理对余甘子切片的褐变度值的影响在贮藏后期相差不大。

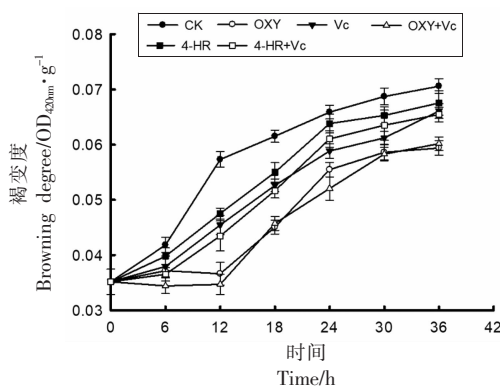


图2 OXY 协同 VC 对余甘子褐变度的影响
Fig.2 Effects of OXY + VC on browning degree of *P. emblica*

2.3 OXY 协同 VC 对余甘子 PPO、POD、PAL 的影响

PPO 是引起褐变的关键酶,其活性的高、低与褐变程度呈正相关。从图 3a 可以看出,在 0~6 h,除 CK 组外,各组的余甘子 PPO 活性较低且变化不大,相差不明显,说明在贮藏早期,各组对余甘子 PPO 的活性有较好的抑制作用;6~18 h,各组的余甘子 PPO 活性剧烈增加;18~36 h,各组的余甘子 PPO 活性缓慢降低,在 18 h 时,PPO 活性达到最高。与各组相比,CK 组的余甘子 PPO 活性最高,OXY+VC 组的余甘子 PPO 活性最低,由此可知,联合处理组的余甘子 PPO 活性低于其单独处理组的 PPO 活性,说明 OXY+VC 联合处理对余甘子中的 PPO 的抑制活能力强于 OXY、VC 单独处理组。

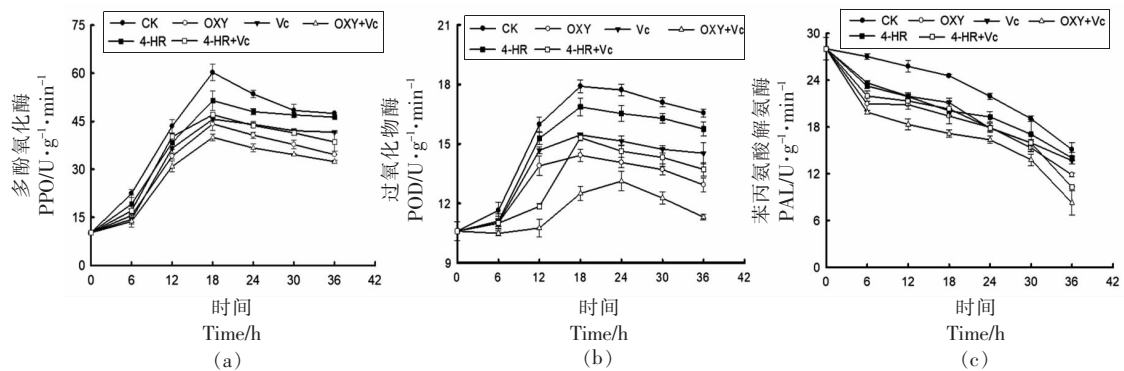


图3 OXY 协同 VC 对余甘子 PPO(a), POD(b), PAL(c)活性的影响
Fig.3 Effects of OXY+ VC on PPO(a), POD (b), PAL (c) activity of *P. emblica*

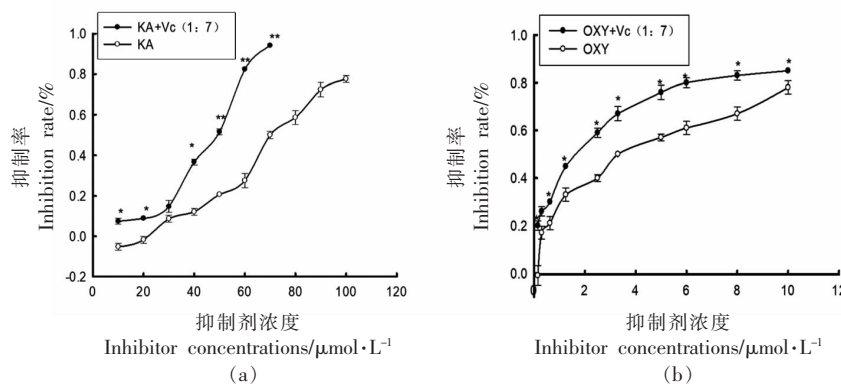
POD 是引起余甘子褐变现象的另一关键性酶,在细胞内活性氧代谢的条件下,产生过氧化氢,能作为过氧化物酶反应的启动子,能使过氧化物酶迅速与酚类物质反应,形成褐变物质,从而影响感官。从图 3b 可以看出,各组 POD 活性均呈先增加后减少的趋势,在 18 h 时活性最高。在 0~6 h,各组的余甘子 POD 活性较低且相差不大;在 6~36 h,4-HR+VC 组的 POD 活性远低于 4-HR 组,OXY 单独组的 POD 活性远高于 OXY+VC 组。在整个贮藏期间,OXY+VC 组的 POD 维持在较低水平,数据表明,各组均对余甘子切片的 POD 活性有抑制作用,OXY、VC 联合处理比单独处理对余甘子 POD 活性抑制效果强。

PAL 能将苯丙氨酸转化为酚类物质,酚类物质能作为酶促反应的底物,因此苯丙氨酸与褐变现象的发生有密切关系,其活性最高,表明非酚类物质向酚类物质转化越多,酶促褐变反应底物越充足。从图 3c 可以看出,各组的 PAL 活性随着时间的延长,均呈下降趋势,CK 组的 PAL 活性保持较高水平,高于其它组,在 0~6 h,4-HR、VC、4-HR+VC、OXY、OXY+VC 组的余甘子切片 PAL 活性迅速下降;在 6~18 h,4-HR、VC、4-HR+VC、OXY、OXY+VC 组的余甘子切片 PAL 活性缓慢下降;18~36 h,又快速下降。在整个贮藏期内,OXY、VC 与 OXY+VC 组相比,VC、OXY 单独处理组 PAL 活性高于 OXY+VC 处理组,表明 OXY+VC 联合处理对余甘子切片中的 PAL 活性抑制作用强于 OXY、VC 单独处理。

2.4 OXY 协同 VC 对 PPO 活性的抑制作用

从图 4 可以看出, 在 OXY、OXY+VC(1:7)溶液浓度为 0~5 $\mu\text{mol/L}$ 时, 随着浓度的增加, PPO 活性迅速减少, 其中在相同浓度下, OXY+VC(1:7) 对 PPO 活性的抑制作用强于 OXY、VC 单独处理。KA、KA+VC(1:7)、OXY、OXY+VC(1:7)溶液处理的 IC₅₀ 值分别为 (70.005 \pm 0.805) $\mu\text{mol/L}$, (48.300 \pm 1.300) $\mu\text{mol/L}$, (3.300 \pm 0.010) $\mu\text{mol/L}$,

(1.600 \pm 0.020) $\mu\text{mol/L}$ 。与阳性对照 KA 和 KA+VC(1:7) 相比, KA 的 IC₅₀ 是 OXY 的 21.210 倍, 是 OXY+VC(1:7) 的 43.750 倍; 而 KA+VC(1:7) 是 OXY 的 14.630 倍, 是 OXY+VC(1:7) 的 30.188 倍。综合来看, 各抑制剂对 PPO 的抑制强弱能力为 OXY+VC > OXY > KA+VC(1:7) > KA。OXY 为强 PPO 抑制剂, OXY 联合 VC 处理后对 PPO 抑制作用加强且差异显著($P < 0.05$)。



注: * 表示有显著差异($P < 0.05$), ** 表示有极显著差异($P < 0.01$)。

图 4 曲酸(a)和氧化白藜芦醇(b)对余甘子 PPO 的抑制作用

Fig.4 Inhibition effects of kojic acid (a) and oxyresveratrol (b) on PPO of *P. emblica*

2.5 OXY、VC 对 PPO 抑制的相互作用的评价

经计算得到 γ OXY+VC (1:7)=0.5044<1, 表明 OXY 与 VC 对 PPO 的抑制作用有较好的协同作用, 这可能与 OXY 和 VC 均有不饱和乙烯类共价键有关, 既可以失去电子, 又可以得到电子, 两者相互促进, 加强了对 PPO 的抑制作用。

2.6 OXY、OXY+VC 对 PPO 抑制方式的研究

从图 5 可以看出, 通过对酶浓度和酶促反应速度作图, 所有的图形均经过原点, 随着抑制剂浓度的增加, 斜率逐渐降低, 表明 OXY、OXY+VC 对 PPO 活性的抑制作用均为可逆的, PPO 的活性下降是由于抑制剂的浓度增加所致, 而不是由于 PPO 有效酶活力减少所致。

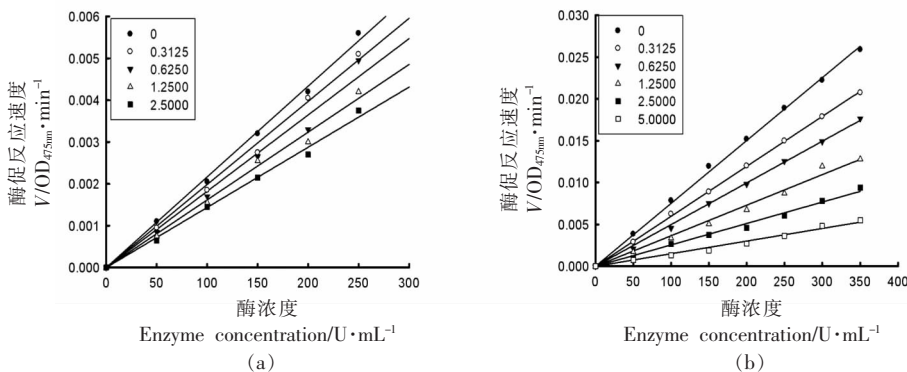


图 5 OXY (a) 和 OXY+VC (1:7) (b) 对 PPO 的抑制方式

Fig.5 Inhibition mode of OXY (a) and OXY+VC (1:7) (b) on PPO

2.7 OXY、OXY 协同 VC 对 PPO 抑制类型及抑制常数的测定

2.7.1 OXY 对 PPO 抑制类型及抑制常数的测定

由图 6a 可知,通过双倒数研究 OXY 对 PPO 作用获得在第二象限相交的一组直线,说明随着 OXY 浓度的增加,导致 K_m 值变大而 V_{max} 逐渐变小,说明 OXY 对 PPO 的抑制类型是混合型抑制,与文献[16]报道一致。表明 OXY 既可以与游离的 PPO 活性中心结合,阻止底物与酶接触,又可以与

PPO 和底物形成的复合物结合,阻止褐变物质的形成。以 OXY 浓度和各直线的斜率进行二次作图,得到图 6b,结合公式(7,8)可求出 OXY 对游离的 PPO 的抑制常数 K_I 为 $0.904 \mu\text{mol/L}$;以各直线 y 轴的截距对 OXY 浓度进行二次作图得图 6c,并结合公式(7,8)求出 OXY 对酶-底物复合物的抑制常数 K_{IS} 值为 $14.285 \mu\text{mol/L}$ 。抑制常数越小越好, $K_{IS} > K_I$,表明 OXY 对 PPO 的结合能力比 OXY 对 PPO-底物复合物的结合能力强。

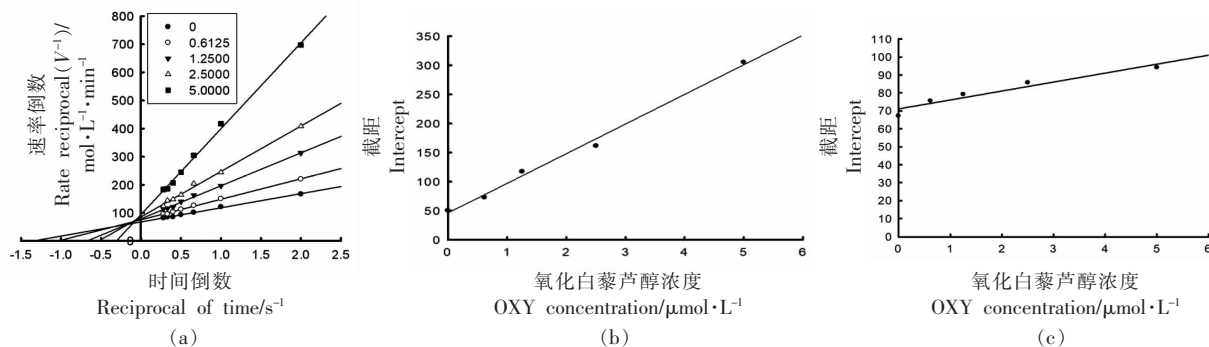


图 6 OXY 对 PPO 抑制类型(a)、抑制常数 K_I (b)、 K_{IS} (c)测定

Fig.6 Determination of PPO inhibition type (a) and inhibition constant K_I (b), K_{IS} (c) of OXY

2.7.2 OXY+VC 对 PPO 抑制类型及抑制常数的测定

通过双倒数作图法研究 OXY+VC (1:7)对 PPO 的抑制类型,可得到一组相交于 y 轴同一点的直线,如图 7a 所示,说明 OXY+VC(1:7)对 PPO 的作用是竞争性抑制类型。以各直线的斜率对

OXY+VC(1:7)浓度进行二次作图可得到一条线性良好的直线,如图 7b 所示,表明 OXY+VC(1:7)对 PPO 的抑制位点是单一的或单一类型的位点。通过这条直线结合公式(7,8),求得 OXY+VC(1:7)对 PPO 的抑制常数 K_I 值为 $0.840 \mu\text{mol/L}$ 。

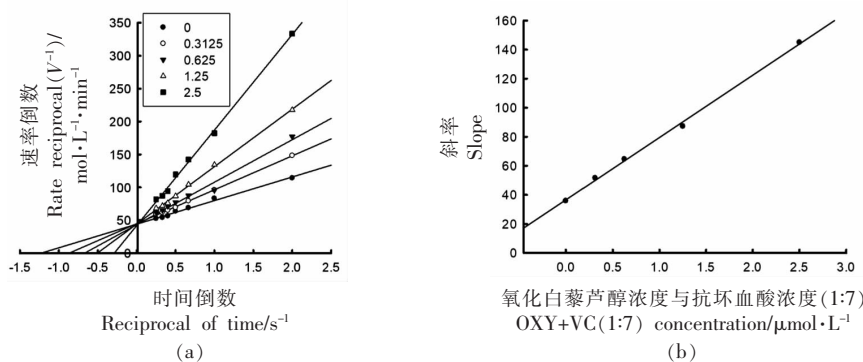


图 7 OXY+VC(1:7)对 PPO 抑制类型(a)及抑制常数 K_I (b)的测定

Fig.7 Determination of PPO inhibition type (a) and inhibition constant K_I (b) of OXY+VC (1:7)

3 结论

氧化白藜芦醇(OXY)和抗坏血酸(VC)能减缓余甘子在加工和贮藏过程中褐变现象的发生,

二者联合处理对余甘子切片的褐变有较好的抑制效果,其途径主要通过抑制余甘子中的 PPO、POD、PAL 活性,尤其是抑制 PPO 的活性。通过酶

抑制动力学研究发现,OXY 和 OXY+VC 对 PPO 的抑制方式均为可逆抑制,OXY 对 PPO 的抑制为混合型抑制,与文献报道[16]一致。有趣的是,通过添加 VC 后,OXY 与 VC 联合使用对 PPO 的抑制由混合型抑制变为竞争性抑制,这种联合使用方式不仅提高了 OXY 抗褐变能力,同时也改变了其对酶的作用方式。

参 考 文 献

- [1] 毛正睿. 不同干燥工艺对余甘子质量、体外降血糖及抗氧化活性的影响研究[D]. 成都: 西华大学, 2020.
- MAO Z R. Effect of different drying processes on the quality, hypoglycemic activity and antioxidant activity of *Phyllanthus emblica* L *in vitro*[D]. Chengdu: Xihua University, 2020.
- [2] 王淑慧, 程锦堂, 郭丛, 等. 余甘子化学成分研究[J]. 中草药, 2019, 50(20): 4873–4878.
- WANG S H, CHEN J T, GUO C, et al. Chemical constituents of *Phyllanthus emblica* and its anti-inflammation activities[J]. Chinese Herbal Medicines, 2019, 50(20): 4873–4878.
- [3] QIAN G, LI X, HUANG H, et al. The efficacy of a chewing gum containing *Phyllanthus emblica* fruit extract in improving oral health[J]. Current Microbiology, 2018, 75(5): 604–610.
- [4] DU Z, LIU J, LI Y, et al. Development of *Phyllanthus emblica* (L) fruit as a carrier for EGCG: Interaction and *in vitro* digestion study[J]. Journal of Food Processing and Preservation, 2019, 43 (7): e13951.
- [5] 薛国丹, 蔡希伦. 二十五味余甘子丸联合福辛普利钠治疗原发性高血压的临床研究[J]. 现代药物与临床, 2020, 35(5): 946–949.
- XUE G D, CAI X L. Clinical study on ershihuwei yuganzi pills combined with fosinopril sodium in treatment of essential hypertension[J]. Drugs & Clinic, 2020, 35(5): 946–949.
- [6] SHARMA A, JOSHI T, JOSHI T, et al. In silico screening of potential antidiabetic phytochemicals from *Phyllanthus emblica* against therapeutic targets of type 2 diabetes[J]. Journal of Ethnopharmacology, 2020, 248: 112268.
- [7] YAN H, HAN L R, ZHANG X, et al. Two new anti-TMV active chalconoid analogues from the root of *Phyllanthus emblica*[J]. Natural Product Research, 2017, 31(18): 2143–2148.
- [8] JAIJOY K, SOONTHORNCHAREONNON N, PAN-THONG A, et al. Anti-inflammatory and analgesic activities of the water extract from the fruit of *Phyllanthus emblica* Linn[J]. International Journal of Applied Research in Natural Products, 2010, 3 (2): 48–58.
- [9] 单粒子, 何林. 藏药在抗肿瘤及免疫调节方面的作用[J]. 自然杂志, 2019, 41(4): 266–274.
- SHAN L Z, HE L. The role of Tibetan medicine in anti-tumor and immunomodulation[J]. Chinese Journal of Nature, 2019, 41(4): 266–274.
- [10] LI W, ZHANG X, CHEN R, et al. HPLC finger-print analysis of *Phyllanthus emblica* ethanol extract and their antioxidant and anti-inflammatory properties[J]. Journal of Ethnopharmacology, 2020, 254: 112740.
- [11] ZHAO T, SUN Q, MAUD M, et al. Anticancer properties of *Phyllanthus emblica* (Indian Gooseberry)[J]. Oxidative Medicine & Cellular Longevity, 2015, 2015: 950890.
- [12] SRIPANIDKULCHAI B, JUNLATAT J. Bioactivities of alcohol based extracts of *Phyllanthus emblica* branches: Antioxidation, antimelanogenesis and anti-inflammation[J]. Journal of Natural Medicines, 2014, 68(3): 615–622.
- [13] 周享乐, 王富海, 易俊洁, 等. 化学抑制剂对果蔬食品多酚氧化酶性质影响的研究进展[J]. 食品与发酵工业, 2021, 47(4): 253–260.
- ZHOU H L, WANG F H, YI J J, et al. Research progress on the effect of chemical inhibitors on the properties of polyphenol oxidase in fruits and vegetables[J]. Food and Fermentation Industries, 2021, 47(4): 253–260.
- [14] 李彩云, 李洁, 严守雷, 等. 果蔬酶促褐变机理的研究进展[J]. 食品科学, 2021, 42(9): 283–292.
- LI C Y, LI J, YAN S L, et al. Progress in research on the mechanism of enzymatic browning in fruits and vegetables[J]. Food Science, 2021, 42 (9): 283–292.
- [15] SHIN N H, RYU S Y, CHOI E J, et al. Oxyresveratrol as the potent inhibitor on dopa oxidase activity of mushroom tyrosinase[J]. Biochemical and Biophysical Research Communications, 1998, 243(3): 801–803.

- [16] KIM Y K, YUN J, LEE C K. Oxyresveratrol and hydroxystilbene compounds: Inhibitory effect on tyrosinase and mechanism of action[J]. Journal of Biological Chemistry, 2002, 277(18): 16340–16344.
- [17] WANG S, LIU X M, ZHANG J, et al. An efficient preparation of mulberroside a from the branch bark of mulberry and its effect on the inhibition of tyrosinase activity[J]. PLoS One, 2014, 9(10): e109396.
- [18] 陈春,黎家妍,黄泽鹏,等. 氧化白藜芦醇对鲜切苹果及果汁褐变的影响[J]. 食品工业科技, 2019, 40(20): 285–289, 295.
- CHEN C, LI J Y, HUANG Z P, et al. Effects of oxyresveratrol on browning of fresh-cut apples and apple juice[J]. Science and Technology of Food Industry, 2019, 40(20): 285–289, 295.
- [19] HE J, ZHU Q, DONG X, et al. Oxyresveratrol and ascorbic acid O/W microemulsion: Preparation, characterization, anti-isomerization and potential application as antibrowning agent on fresh-cut lotus root slices[J]. Food Chemistry, 2017, 214: 269–276.
- [20] HE J, GUO F, LIN L, et al. Investigating the oxyresveratrol β -cyclodextrin and 2-hydroxypropyl- β -cyclodextrin complexes: The effects on oxyresveratrol solution, stability, and antibrowning ability on fresh grape juice[J]. LWT–Food Science and Technology, 2019, 100: 263–270.
- [21] LI H, CHENG K W, CHO C H, et al. Oxyresveratrol as an antibrowning agent for cloudy apple juices and fresh-cut apples[J]. Journal of Agricultural & Food Chemistry, 2007, 55(7): 2604–2610.
- [22] 唐月明,朱永清,沈学善,等. 川中丘陵区冬作不同品种马铃薯鲜切加工适宜性评价[J]. 食品工业科技, 2020, 41(9): 219–224.
- TANG Y M, ZHU Y Q, SHEN X S, et al. Evaluation different varieties of potato suitable for fresh cutting in winter in hilly area of central Sichuan[J]. Science and Technology of Food Industry, 2020, 41(9): 219–224.
- [23] 关正萍,郭少珏,肖春玲,等. 低温处理对鲜切马铃薯片保鲜的影响[J]. 江苏农业科学, 2020, 48(15): 230–234.
- GUAN Z P, GUO S Y, XIAO C L, et al. Impact of low temperature treatments on preservation of fresh-cut potato slices[J]. Jiangsun Agricultural Science, 2020, 48(15): 230–234.
- [24] 谢征芸,谢杨,庄萌,等. 不同处理方式对余甘子果多酚氧化酶和过氧化物酶活性的影响[J]. 现代食品, 2019(19): 132–137.
- XIE Z Y, XIE Y, ZHUANG M, et al. Effects of different treatments on polyphenol oxidase and peroxidase activities in *Phyllanthus emblica* L[J]. Modern Food, 2019(19): 132–137.
- [25] 曹建康,姜微波,赵玉梅. 果蔬采后生理生化实验指导[M]. 北京: 中国轻工业出版社, 2007: 101–102, 142.
- CAO J K, JIANG W B, ZHAO Y M. Experiment guidance of postharvest physiology and biochemistry of fruits and vegetables[M]. Beijing: China Light Industry Press, 2007: 101–102, 142.
- [26] 张龙. 间苯二酚类黄酮衍生物对酪氨酸酶抑制机理研究[D]. 无锡: 江南大学, 2017.
- ZHANG L. Study on the inhibitory mechanism of resorcinol flavonoid derivatives on tyrosinase [D]. Wuxi: Jiangnan University, 2017.
- [27] 王庆华,黄演婷,舒锦华. 复合抑制剂对酪氨酸酶活性的相互作用研究[J]. 中山大学学报(自然科学版), 2011, 50(4): 91–95.
- WANG Q H, HUANG Y T, SHU J H. The interaction effects of combination inhibitor on tyrosinase [J]. Acta Scientiarum Naturalium University Sunvat-seni, 2011, 50(4): 91–95.

Studies on Inhibitory Mechanism of Oxyresveratrol Combined with Ascorbic Acid on Enzymatic Browning in *Phyllanthus emblica*

Chen Jun¹, Chen Hongbin¹, Guo Fengxian¹, Zheng Ruisheng¹, Lin Hetong², Zheng Zongping^{1*}

(¹Fujian Province Key Laboratory for the Development of Bioactive Material from Marine Algae, College of Oceanology and Food Science, Quanzhou Normal University, Quanzhou 362000, Fujian

²College of Food Science, Fujian Agriculture and Forestry University, Fuzhou 350002)

Abstract In this paper, the inhibitory enzymatic browning effects and the inhibition kinetics of polyphenol oxidase of *Phyllanthus emblica* by oxyresveratrol combined with ascorbic acid were studied to explore their synergistic inhibition mechanism of browning enzyme. The results showed that 0.02% oxyresveratrol, 0.15% ascorbic acid, and 0.02% oxyresveratrol + 0.15% ascorbic acid could reduce the enzymatic browning of *P. emblica* and had a good inhibitory effect on the activities of polyphenol oxidase (PPO), peroxidase (POD) and phenylalanine ammonia lyase (PAL). The treatment of 0.02% oxyresveratrol combined with 0.15% ascorbic acid had stronger inhibitory activities on enzymatic browning and PPO, POD and PAL of *P. emblica* than that of oxyresveratrol alone. The results of enzyme inhibition kinetics showed that the IC_{50} of oxyresveratrol on PPO was (3.300 ± 0.010) $\mu\text{mol/L}$, its inhibition mechanism was reversible mixed inhibition, while the IC_{50} of oxyresveratrol combined with ascorbic acid (1:7) was (1.600 ± 0.020) $\mu\text{mol/L}$, their inhibition mechanism was reversible competitive inhibition, and this cooperative use led to the change of inhibition mode. The inhibition constant K_i of oxyresveratrol on PPO was $0.904 \mu\text{mol/L}$, whereas its inhibition constant K_{IS} of the complex formed by PPO and substrate was $14.285 \mu\text{mol/L}$. Furthermore, the inhibition constant K_I of oxyresveratrol combined with ascorbic acid (1:7) on PPO was $0.840 \mu\text{mol/L}$. Lower than that used oxyresveratrol alone, the inhibition of PPO was strengthened by oxyresveratrol combined with treatment ascorbic acid.

Keywords *Phyllanthus emblica*; enzymatic browning; oxyresveratrol; ascorbic acid; enzyme inhibition kinetics